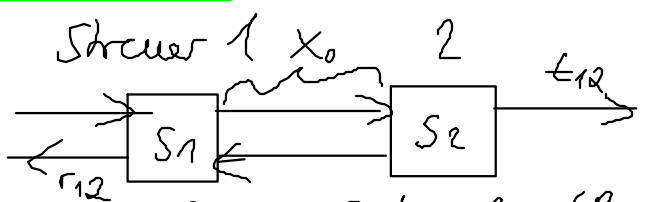


# Beispiele



• klassisch

$$G_{12}^{-1} = \frac{\hbar}{2e^2} \left( \frac{R_1}{T_1} + \frac{R_2}{T_2} \right)$$

Addition von 4P-Widerständen

• quantenmechanisch, kohärent

$$t_{12} = \frac{t_1 t_2 e^{i\phi x_0}}{1 - r_1' r_2 e^{2i\phi x_0}}$$

$$r_{12} = r_1 + \frac{r_2 t_1 e^{2i\phi x_0}}{1 - r_1' r_2 e^{2i\phi x_0}}$$

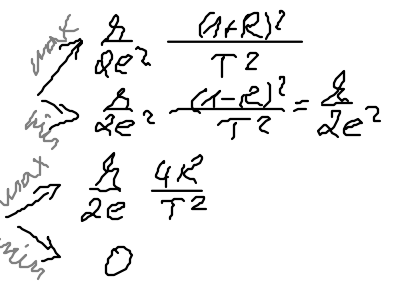
$$\Rightarrow T_{12} = |t_{12}|^2 = \frac{T_1 T_2}{1 + R_1 R_2 - 2\sqrt{R_1 R_2} \cos \Theta}$$

$$R_{12} = |r_{12}|^2 = \frac{R_1 + R_2 - 2\sqrt{R_1 R_2} \cos \Theta}{1 + R_1 R_2 - 2\sqrt{R_1 R_2} \cos \Theta} \quad \text{mit } \Theta = 2\hbar x_0 \phi + \phi_1 + \phi_2$$

$$G_{12}^{-1} = \frac{\hbar}{2e^2} \frac{1}{T_{12}}$$

$$\xrightarrow{R_1=R_2, T_1=T_2}$$

$$\frac{\hbar}{2e^2} \frac{1 + R^2 - 2R \cos \Theta}{T^2}$$



$$G_{12}^{-1} = \frac{\hbar}{2e^2} \frac{R_{12}}{T_{12}}$$

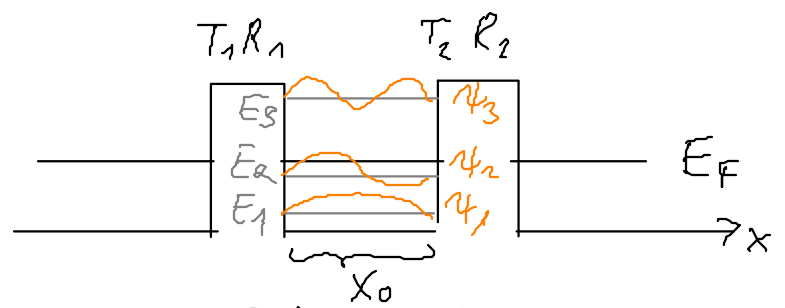
$$\xrightarrow{R_1=R_2, T_1=T_2} \frac{\hbar}{2e^2} \frac{2R(1 - \cos \Theta)}{T^2}$$

$$G_{12}^{-1} \xrightarrow{R_1=R_2, T_1=T_2} \frac{\hbar}{2e^2} \frac{2R}{T}$$

$$G_{12}^{-1} = G_{12}^{-1} + \frac{\hbar}{2e^2} \leftarrow \text{Kontaktwiderstand}$$

## 2.10 Resonanzstunnel

Betrachte System mit 2 hohen Barrieren



- $T_1, T_2 \ll 1$
- $R_1 \approx R_2 \approx 1$
- $T_i, R_i$  hängt nicht von  $E$  ab aber  $\Theta(E)$  hängt von  $E$  ab.

• zur Vereinfachung  $\phi_1 + \phi_2 = 0$

$$\Theta(E) = 2\phi x_0 = 2x_0 \frac{\sqrt{2mE}}{\hbar}$$

Für gewisse Energien  $E_n$  ist  $\Theta(E_n) = 2\pi n \quad n = 1, 2, \dots$

$$\cos \Theta(E_n) = 1 \Rightarrow G_{1P} = \frac{2e^2}{\hbar}, G_{4P} = \infty \text{ für } R_1=R_2, T_1=T_2$$

$$k_n = \frac{\sqrt{2mE_n}}{\hbar} = \frac{2\pi u}{2x_0} \quad (\text{siehe Teilchen im Kasten mit } \infty \text{ hohen Wänden})$$

$$= \frac{2\pi}{n\lambda_n} \rightarrow \frac{\lambda_n}{2} \text{ passt genau zwischen Barrieren}$$

• Berechne Leitwert  $T_{12}(E)$  für  $E \approx E_n$

$$\cos\theta(E) = \underbrace{\cos[\theta(E_n)]}_1 - \underbrace{\left(\sin\theta \frac{d\theta}{dE}\right)}_0 (E - E_n) - \frac{1}{2} \frac{d}{dE} \left[ \sin\theta \frac{d\theta}{dE} \right]_{E_n} (E - E_n)^2 \dots$$

$$= 1 - \frac{1}{2} \left( \frac{d\theta}{dE} \right)^2_{E_n} (E - E_n)^2 = 1 - \frac{1}{2} \left( \frac{2x_0 \sqrt{2m}}{2\sqrt{E_n} \hbar} \right)^2 (E - E_n)^2$$

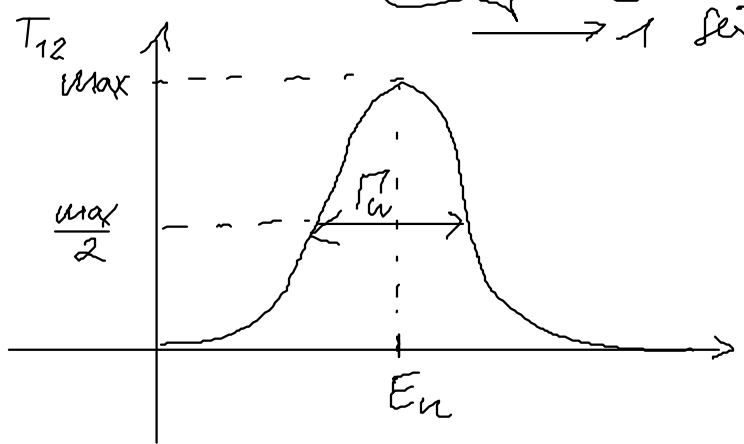
$$= 1 - \frac{m x_0^2}{E_n \hbar^2} (E - E_n)^2$$

mit  $1 + R_1 R_2 - 2\sqrt{R_1 R_2} = 1 + (1 - T_1)(1 - T_2) - 2\left(1 - \frac{T_1}{2} - \frac{T_2}{8} \dots\right) \left(1 - \frac{T_1}{2} - \frac{T_2}{8} \dots\right)$   
 für  $T_1, T_2 \ll 1$   $= \frac{(T_1 + T_2)^2}{4}$

$$T_{12}(E) = \frac{T_1 T_2}{\frac{(T_1 + T_2)^2}{4} + \sqrt{R_1 R_2} \frac{2x_0^2 m}{\hbar^2} \frac{(E - E_n)^2}{E_n}} = \frac{4T_1 T_2}{(T_1 + T_2)^2} \frac{1}{1 + \frac{8x_0^2 m}{\hbar^2} \frac{(E - E_n)^2}{E_n (T_1 + T_2)^2}}$$

$$\Gamma_i = T_i \frac{\hbar}{x_0} \sqrt{\frac{E_n}{2m}} \quad i = 1, 2, \dots, \quad \Gamma_n = \Gamma_1 + \Gamma_2$$

$$T_{12}(E) = \frac{4T_1 T_2}{(T_1 + T_2)^2} \frac{\frac{\Gamma_n^2}{4}}{\frac{\Gamma_n^2}{4} + (E - E_n)^2} \quad \text{Lorentz-Kurve}$$



- Für  $T_1 = T_2$  ist max von  $T_{12} = 1$
- Im Resonanz  $T_{12} = 1$
- für Symmetrische Barrieren  $G_{12} = \frac{\hbar^2}{A}$

• Interpretation von  $\Gamma_i$

$$\Gamma_i \frac{1}{\hbar} = T_i \frac{v_n}{x_0} \quad (v_n : \text{Geschwindigkeit zwischen Barrieren})$$

Wahrscheinlichkeit  $\leftarrow$  attempt frequency = Rate für Überqueren über Barrieren

$$\frac{1}{\hbar} \Gamma_{ii} = \frac{1}{\hbar} (\Gamma_1 + \Gamma_2) \quad \text{Rate für escape aus Barrieren}$$

⇒ Linienbreite der Resonanzkurve

## Q.M. Übergang zum Kohärent ↔ klassisch

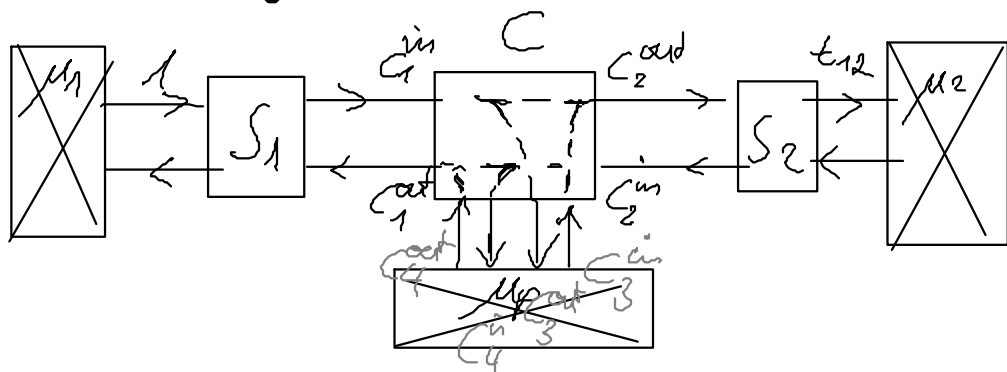
**Dichtematrix  $\rho$ :** Nebendiagonalelemente der  $q_m$  Dichtematrix

$\rho_{ij}^{(n)}(t) \xrightarrow[t > \tau_f]{} 0$  aufgrund von Prozessen die die Phasenkohärenz zerstören. Übrig bleiben  $\rho_{ii} =$  Wahrscheinlichkeit im Zustand  $i$  sein.

- Übergang zur klass. Physik, wenn ein Prozess die  $q_m$  Kohärente Propagation beeinflusst. z.B. fluktuierendes el. Potenzial



## Modellrechnung nach Büttiker (IBM J. Res. Dev. 32, 63 (1988))



- Beobachtung: im Reservoir wird Phasenkohärenz zerstört
- Lasse Teil der Amplitude nach Reservoir Propagation und inkohärent wieder zurück. (Parameter  $0 \leq \epsilon \leq 1$ )
- Zu Probe soll kein Netstrom  $I_p = 0$  fließen.
- Zusätzliches Kopplungselement ist auch durch S-Matrix beschreibbar

$$\begin{pmatrix} C_1^{out} \\ C_2^{out} \\ C_3^{in} \\ C_4^{in} \end{pmatrix} = S_{\text{res}} \begin{pmatrix} 0 & \sqrt{1-\epsilon} & 0 & -\sqrt{\epsilon} \\ \sqrt{1-\epsilon} & 0 & -\sqrt{\epsilon} & 0 \\ \sqrt{\epsilon} & 0 & \sqrt{1-\epsilon} & 0 \\ 0 & \sqrt{\epsilon} & 0 & \sqrt{1-\epsilon} \end{pmatrix} \begin{pmatrix} C_1^{in} \\ C_2^{in} \\ C_3^{out} \\ C_4^{out} \end{pmatrix}$$

• Es gilt  $S_{\text{eff}} S_{\text{eff}}^{\dagger} = \mathbb{1}$

$S_{\text{eff}}$  erfüllt den Zweck  
es gibt sicher auch andere  
Möglichkeiten.

alle  $\epsilon_0 = \frac{1}{2}$

$$t_{12} = \frac{t_2 e^{i\frac{\phi}{2}} \sqrt{1-\epsilon} e^{i\frac{\phi}{2}} t_1}{1 - e^{i\phi} \sqrt{1-\epsilon} r_1' e^{i\frac{\phi}{2}} \sqrt{1-\epsilon} e^{i\frac{\phi}{2}} r_2}$$

$$= \frac{t_1 t_2 e^{i\phi} \sqrt{1-\epsilon}}{1 - e^{2i\phi} (1-\epsilon) r_1' r_2}$$

$$t_{13} = \frac{\sqrt{\epsilon} e^{i\frac{\phi}{2}} t_1}{1 - e^{2i\phi} (1-\epsilon) r_1' r_2}$$

$$t_{14} = \frac{\sqrt{\epsilon} e^{i\frac{\phi}{2}} r_2 e^{i\frac{\phi}{2}} \sqrt{1-\epsilon} e^{i\frac{\phi}{2}} t_1}{1 - e^{2i\phi} (1-\epsilon) r_1' r_2}$$

$$t_{23} = \frac{\sqrt{\epsilon} e^{i\frac{\phi}{2}} r_1' e^{i\frac{\phi}{2}} \sqrt{1-\epsilon} e^{i\frac{\phi}{2}} t_2}{1 - e^{2i\phi} (1-\epsilon) r_1' r_2}$$

$$t_{24} = \frac{\sqrt{\epsilon} e^{i\frac{\phi}{2}} t_2}{1 - e^{2i\phi} (1-\epsilon) r_1' r_2}$$

$$T_{12} = |t_{12}|^2 = \frac{T_1 T_2 (1-\epsilon)}{|Z|^2}$$

$$z = t e^{2i\phi} (1-\epsilon) r_1' r_2$$

$$|z|^2 = 1 + R_1 R_2 (1-\epsilon)^2 - 2\sqrt{R_1 R_2} \cos\theta$$

$$\theta = 2\phi + \rho_1 + \rho_2$$

$$T_{1p} = |t_{13}|^2 + |t_{14}|^2 = \frac{T_1 \epsilon [1 + (1-\epsilon) R_2]}{|Z|^2}$$